

宇宙核物理連絡協議会主催 第2回研究戦略ワークショップ  
「日本の核データ～天と地の核エネルギー」

# 革新的原子力システム開発 のための中性子核データ測定

原田秀郎

Japan Atomic Energy Agency

[harada.hideo@jaea.go.jp](mailto:harada.hideo@jaea.go.jp)

## 序論

革新的原子力システムと中性子核データ  
中性子核データの現状  
中性子核データ測定の難しさ

## 誤差低減に向けた実験的取り組み

－中性子捕獲断面積測定を中心に－

中性子源

中性子捕獲反応用検出器系

原子炉中性子を用いた測定

独立測定の重要性

## 今後の展望

# 革新的原子力システムとは

革新的原子力システム：革新的な原子炉及び核燃料サイクル

現行の軽水炉システムの持つ限界を超える

(1) 核燃料資源の有効利用

高速増殖炉サイクルの実用化

(2) 電力需要及び設備投資に対する柔軟性

小型モジュール炉等

(3) 経済性の大幅な向上

高燃焼度化による燃料サイクル費の低減等

(4) 原子力エネルギーの多様な利用 水素製造等

(5) 優れた安全性

(6) 環境負荷の低減 長寿命核種の核変換等

(7) 核拡散抵抗性の向上 MA/FP等放射性核種の混入 等

各種コンセプト：原子力委員会研究開発専門部会革新炉検討会 平成14年11月7日

# どのくらいの精度の中性子核データが求められているのか

OECD/NEA Report (2008), NEA/WPEC-26より  
“Uncertainty and Target Accuracy Assessment for Innovative Systems using Recent Covariance Data Evaluations”  
各革新的原子力システムの開発に求められる  
核データ精度についての報告

加速器駆動MA燃焼システムの場合の要求精度例：<sup>244</sup>Cm

核種	核データの種類	重要エネルギー領域	現状精度(%)	要求精度(%)
<sup>244</sup> Cm	中性子捕獲断面積	9 keV ~ 498 keV	20	6
	核分裂断面積	67 keV ~ 6 MeV	45	2
	核分裂当たり中性子発生数	183 keV ~ 6 MeV	10	1

# 中性子核データの現状

## 実験データと評価データの関係

### Thermal neutron capture cross section

	References	$^{107}\text{Pd}(\text{n}, \gamma)$
Exp	J, NST, 44, 103 (2007)	$9.16 \pm 0.27 \text{ b}$
Eva 1	Mughabghab(1981)	$1.8 \pm 0.2 \text{ b}$
	Mughabghab(2006)	$2.54 \pm 0.20 \text{ b}$
Eva 2	JENDL-3.3 (2002)	$2.007 \text{ b}$

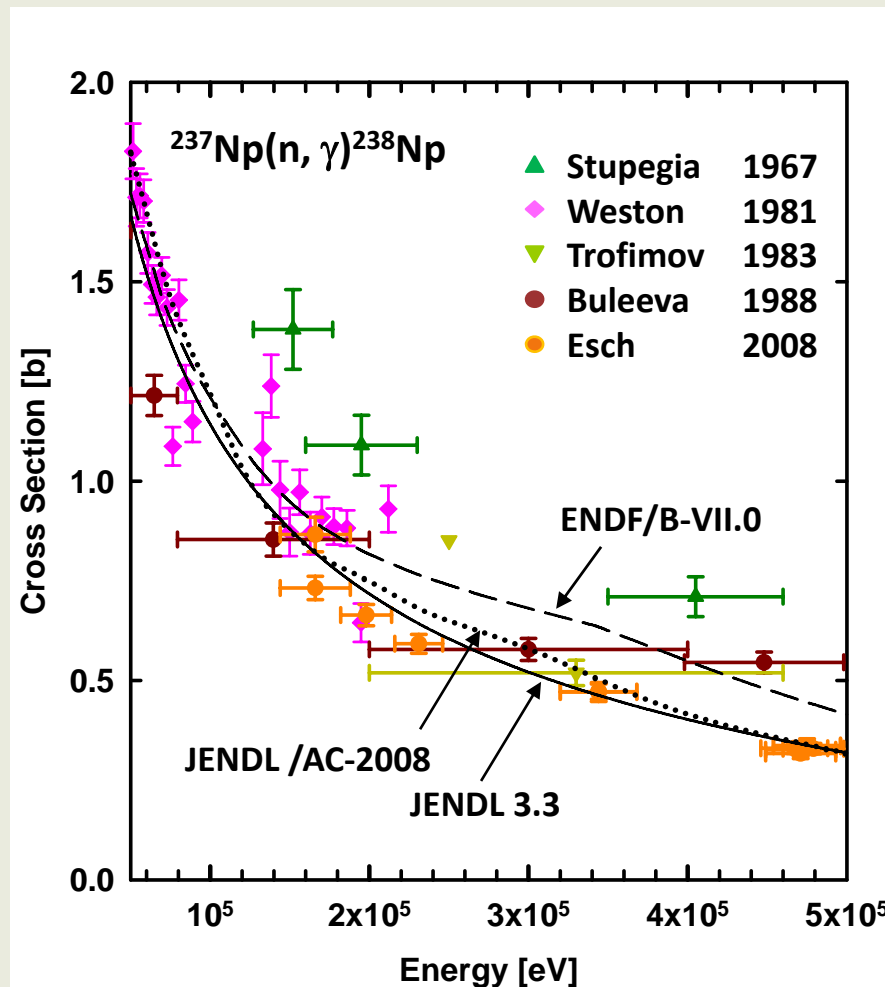
# 中性子核データの現状

## 評価データの誤差

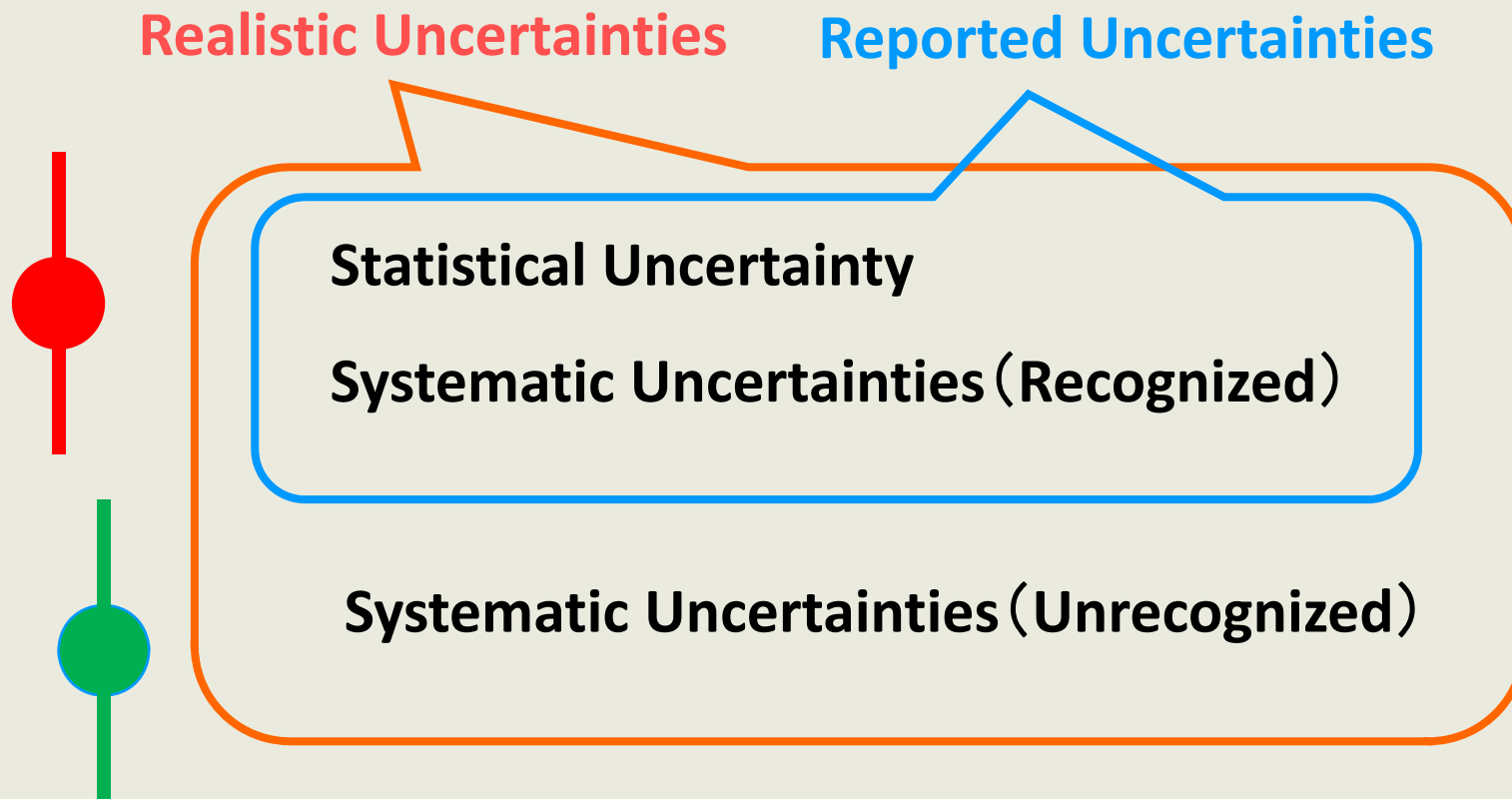
References	$^{244}\text{Cm}(\text{n}, \text{f})$ 0.5-1.35 MeV	$^{237}\text{Np}(\text{n}, \gamma)$ 0.5-1.35 MeV
J. NSE, 146, 13 2004 ANL	40 %	15 %
JENDL-3.3 2002 JAEA	7.7 %	3.4 %

# 中性子核データの現状

## 実験データの現状

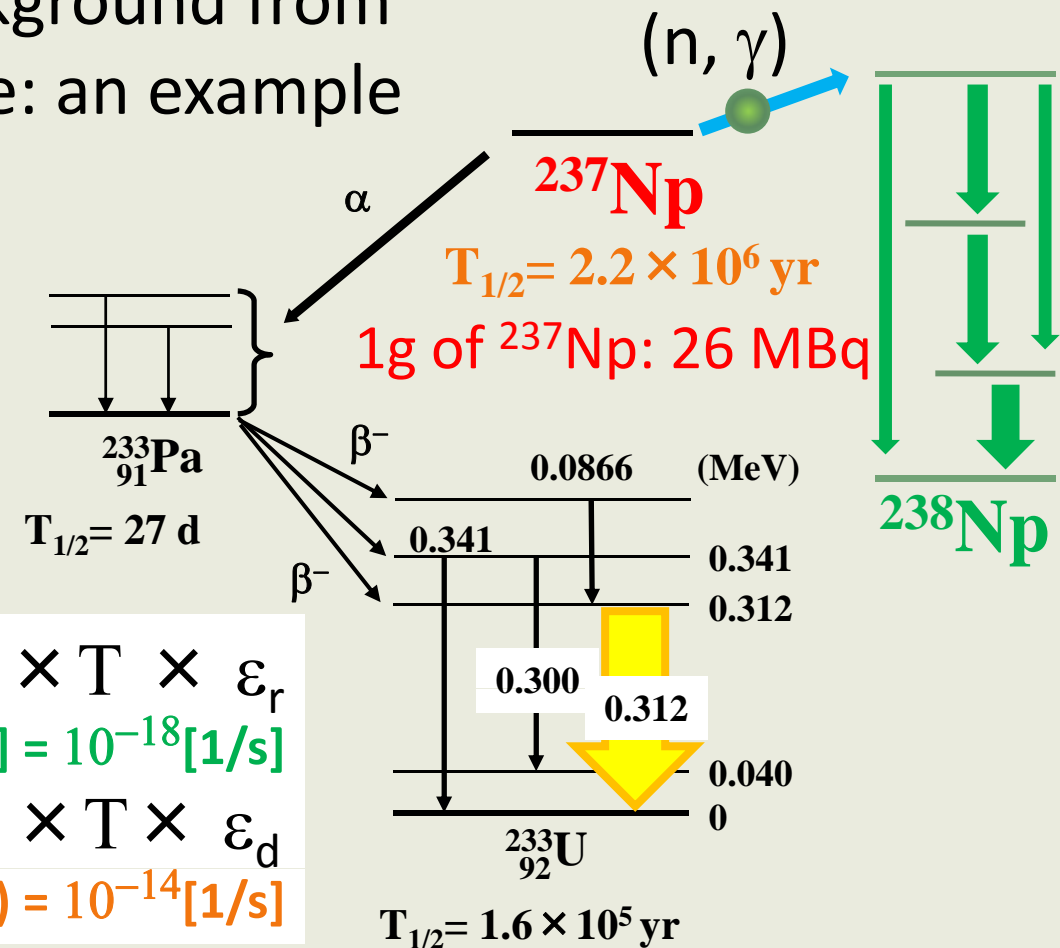
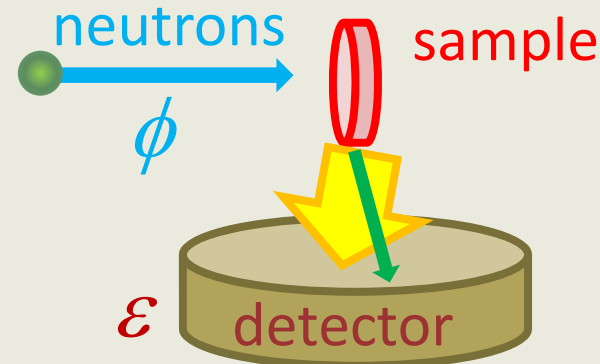


# Uncertainties in Experiments



# 放射性核種の中性子核データ 測定は何故難しいのか

Intense radiation background from radioactive sample: an example



$$Y_{\text{reaction}} = \sigma \times \phi \times N \times T \times \varepsilon_r$$
$$\sigma \times \phi = 1[\text{b}] \times 10^6[\text{n/cm}^2/\text{s}] = 10^{-18}[1/\text{s}]$$

$$Y_{\text{decay}} = \lambda \times N \times T \times \varepsilon_d$$
$$\lambda = \ln 2 / T_{1/2} (2.2 \times 10^6 \text{ yr}) = 10^{-14}[1/\text{s}]$$

Simplified estimation

宇宙核物理連絡協議会 090729 理研

# 誤差低減に向けた実験的取り組み －中性子捕獲断面積測定を中心に－

## I Neutron sources

Pulsed neutrons and reactor neutrons

## II Detectors

$C_6D_6$ , NaI,  $4\pi$  detectors, and new scintillators

## III Traditional *and New Methods*

Activation methods

*Inverse reactions, Surrogate reactions, ... (略)*

# Neutron Sources

## Accelerator:

Electron beam	→	( $\gamma$ , n) reaction $\sim 0.3n/\text{GeV}$
High-energy proton beam	→	Spallation reaction $\sim 25n/\text{GeV}$
Low-energy proton beam	→	$^{45}\text{Sc}$ , $^7\text{Li}$ , T(p, n) reactions*

## Reactor:

Thermal reactor	}	→	High Flux
Fast reactor			

\* <http://www3.tokai-sc.jaea.go.jp/rphpwww/senryo/index2.htm>

# Pulsed neutron sources used for TOF

Facility Reference	Beam energy	Beam power n Intensity	Beam pulse width Pulse per sec	Flux
IRMM, GELINA ND2007, p.563	Electron 100 MeV	6 kW	1 ns 800 Hz	@ 12 m
ORNL, ORELA ND2007, p.441	Electron 180 MeV	5 kW $10^{13}$ n/s	8 ns 525 Hz	@ 40 m
Kyoto, e Linac ND2007, p.591	Electron 30 MeV	1 kW	100 ns 100 Hz	@ 10 m
CERN, n-TOF ND2007, p.537	Proton 20 GeV	9 kW $10^{15}$ n/s	6 ns 0.4 Hz	$4 \times 10^5$ n/cm <sup>2</sup> /s @ 185 m
LANL, Lujan ND2007, p.415	Proton 0.8 GeV	80 kW	135 ns 20 Hz	@ 20 m
J-PARC, MLF (Expected)	Proton 3 GeV	1 MW $\sim 10^{17}$ n/s	$\sim$ 100 ns 25 Hz	$\sim 10^9$ n/cm <sup>2</sup> /s @ 22 m

# Pulsed neutron sources @ J-PARC



MLF, BL04: NNRI (Neutron Nucleus Reaction Instrument)  
First Beam: May 30, 2008

<http://j-parc.jp/index-e.html>

<http://wwwndc.jaea.go.jp/JNDC/ND-news/pdf91/No91-04.pdf>

# Nuclear Data Measurements @ J-PARC

## - Neutron-Nucleus Reaction Instrument (NNRI) -

BL4, MLF@J-PARC  
Contact person: Y. Kiyanagi ([kiyanagi@qe.eng.hokudai.ac.jp](mailto:kiyanagi@qe.eng.hokudai.ac.jp))

- Measurement of neutron capture cross sections needed for the design of innovative reactors
- The neutron time-of-flight method enables the measurement in a wide energy range
- ◆ Minor actinides  
 $^{244}\text{Cm}$ ,  $^{246}\text{Cm}$ , etc.
- ◆ Long lived fission products  
 $^{129}\text{I}$ ,  $^{99}\text{Tc}$ ,  $^{93}\text{Zr}$ , etc.

**Specification**

- Coupled moderator (liquid  $\text{H}_2$ )
- Flight Path:  $L_1 = 22\text{ m}$ ( $4\pi$  Ge spectrometer)  
 $L_1 = 28\text{ m}$ (NaI scintillator)  
 $L_1 = 29\text{ m}$ (Neutron monitor)
- Neutron Energy:  $0.01\text{ eV} < E_n < 100\text{ keV}$
- $T_0$  chopper: at 13 m
- Disk chopper: at 15 m

**$\gamma$ -ray detectors**

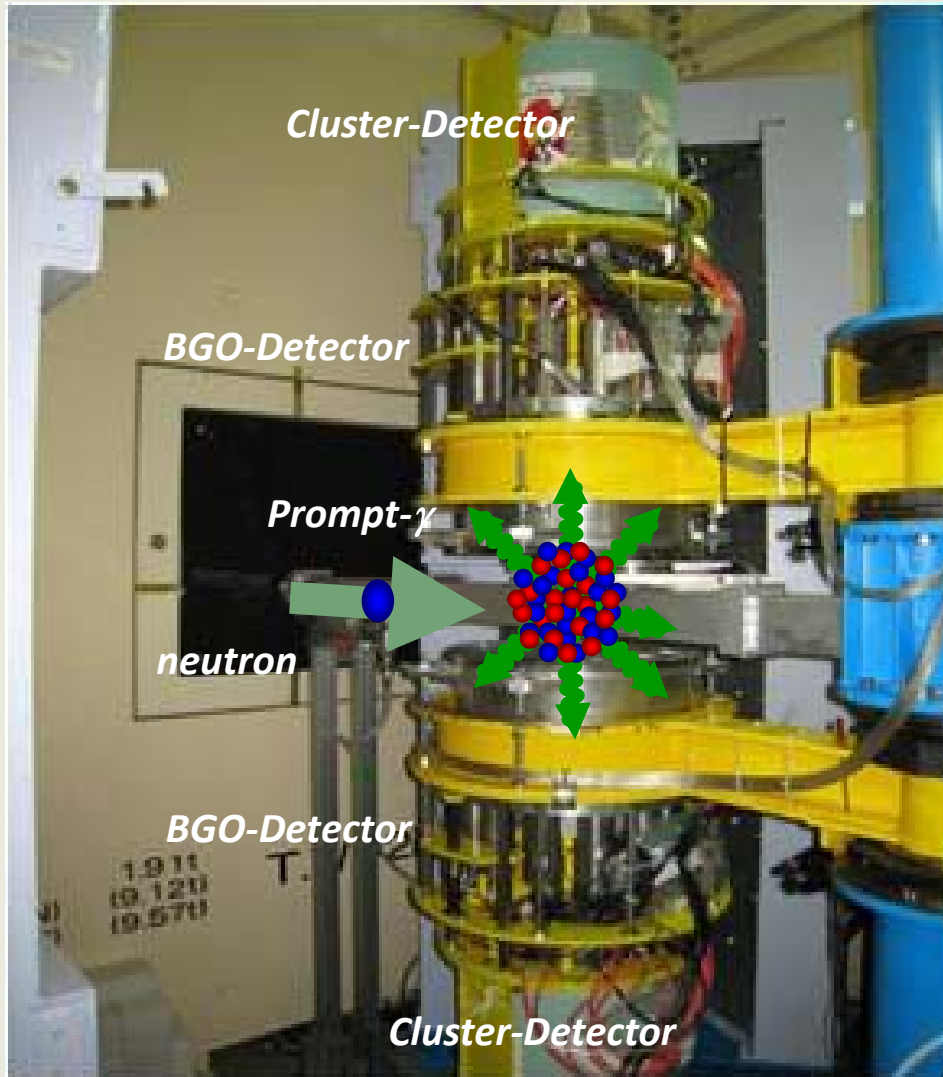
To deduce neutron capture cross sections, prompt  $\gamma$ -rays after the neutron capture reaction are measured with ...

- High energy-resolution  $4\pi$  Ge spectrometer  
\*Energy resolution:  $E\gamma/\delta E\gamma = 1,000$
- Detection efficiency: 10-15% at 1 MeV
- Fast NaI scintillation detector

This study was the result of "Study on nuclear data by using a high intensity pulsed neutron source for advanced nuclear system" entrusted by the Ministry of Education, Culture, Sports, Science and Technology of Japan (MEXT).

<http://j-parc.jp/MatLife/en/instrumentation/bl04/BL04.html>

# Nuclear Data Measurements @ J-PARC



$^{244}\text{Cm}$ ,  $T_{1/2}=18.1$  years  
0.6 mg, 1.8 GBq  
Beam Power 20kW

略

$^{244}\text{Cm}$ のTOFスペクトル

本研究は、特別会計に関する法律（エネルギー対策特別会計）に基づく文部科学省からの受託事業として、北海道大学が実施した平成21年度「高強度パルス中性子源を用いた革新的原子炉用核データの研究開発」の成果です。

# Detectors for Capture

## Detectors for Capture in combination

with Pulse Height Weighting Technique

- |                        |   |   |
|------------------------|---|---|
| $\text{C}_6\text{D}_6$ | → | low neutron sensitivity                       |
| Nal                    | → | good energy resolution                        |
| Ge                     | → | high energy resolution, $\gamma$ spectroscopy |

## Detectors for Capture : $4\pi$ type detector

- |                |   |   |
|----------------|---|---|
| $\text{BaF}_2$ | → | high efficiency, highly segmented             |
| BGO            | → | high efficiency                               |
| Ge             | → | high energy resolution, $\gamma$ spectroscopy |

## New scintillators

- $\text{LaBr}_3(\text{Ce})$ ,  $\text{LaCl}_3(\text{Ce})$

# Detectors for Capture in combination with Pulse Height Weighting Technique

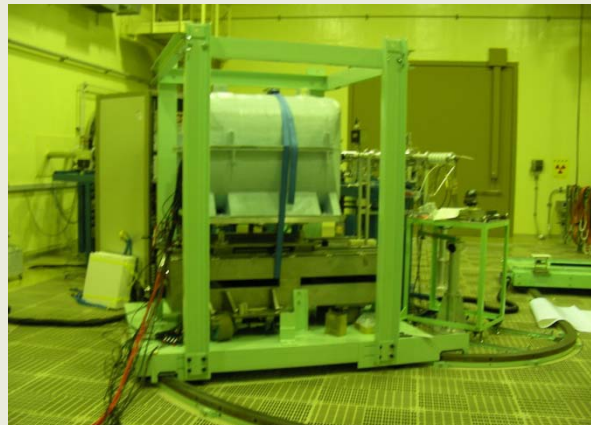
$C_6D_6$        $\mapsto$       low neutron sensitivity

J.L. Tain (n-TOF): "Accuracy of the pulse height weighting technique for capture cross-section measurements", n\_TOF Internal Note IFIC-2000-1

A. Borella et al.(IRMM): "The use of  $C_6D_6$  detectors for neutron induced capture cross-section measurements in the resonance region", NIM

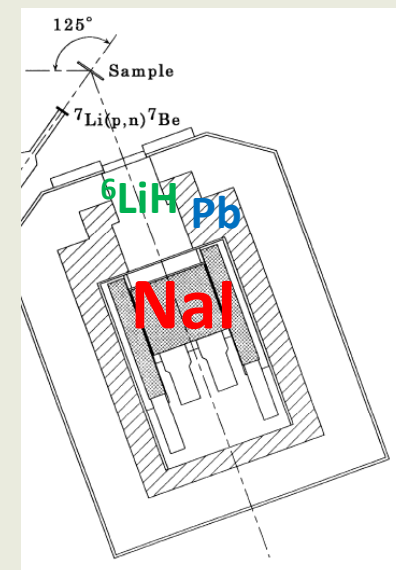
A577 (2007) 626.  $\mapsto \sigma_{cap}$  can be deduced with an uncertainty of 2 %

Nal       $\mapsto$       good energy resolution  
low background



$^7\text{Li}(p, n)^7\text{Be}$  10-100 keV  
(Ep=1.905MeV) available  
at JAEA Tokai

[http://www1.bipm.org/cc/CCRI\(III\)/Allowed/15/CCRI\(III\)03-07.pdf](http://www1.bipm.org/cc/CCRI(III)/Allowed/15/CCRI(III)03-07.pdf)



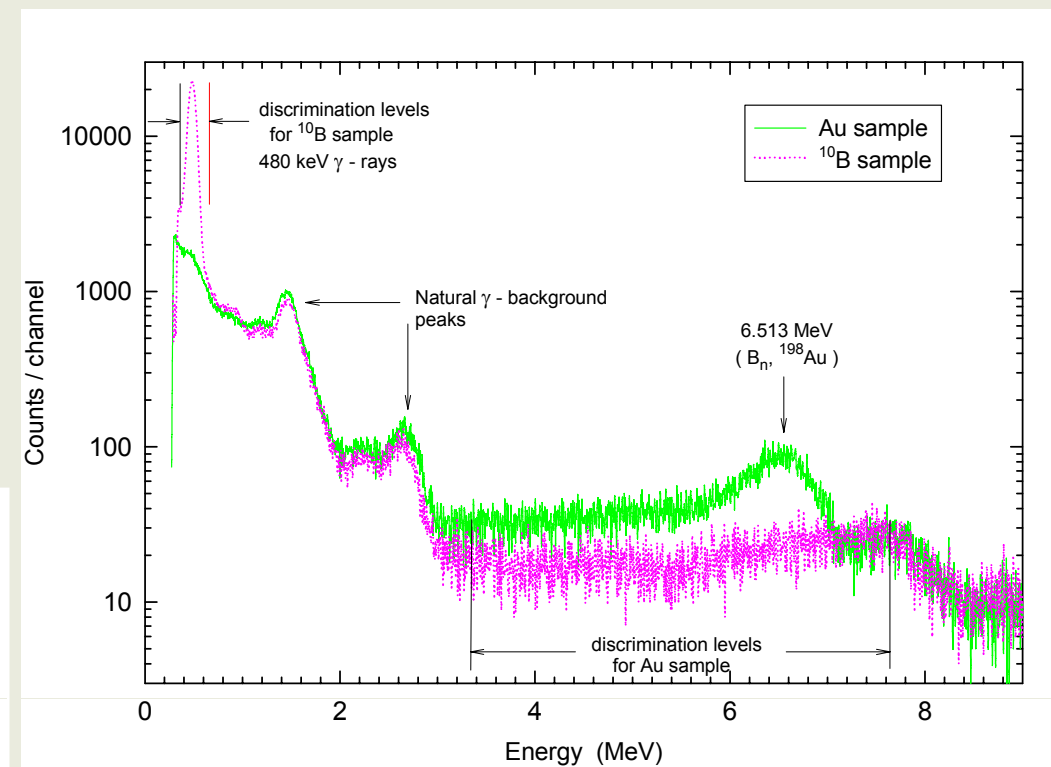
See also M. Igashira et al., ND2007, p.616, p.1299 (Tokyo Tech.)

# Detectors for Capture : $4\pi$ type detectors

$\text{BaF}_2$	→	high efficiency, highly segmented TAC (n-TOF) ND2007, p.595, p.627 DANCE (LANL) ND2007, p.415, p.491, p.607
BGO	→	high efficiency
Ge	→	high energy resolution, $\gamma$ spectroscopy



The 8.54  $\ell$  BGO 16-section  
scintillation detector: NIM A517  
(2004) 269  
Used for  $^{237}\text{Np}(n, \gamma)$ : JNST 42  
(2005) 135



# LaBr<sub>3</sub>(Ce)を用いた中性子捕獲断面積測定用 スペクトロメータの基盤技術開発

## 3" × 3" LaBr<sub>3</sub>(Ce)検出器の基礎特性試験

<sup>48</sup>Ti(n, γ)反応の即発ガンマ線  
波高スペクトル

略

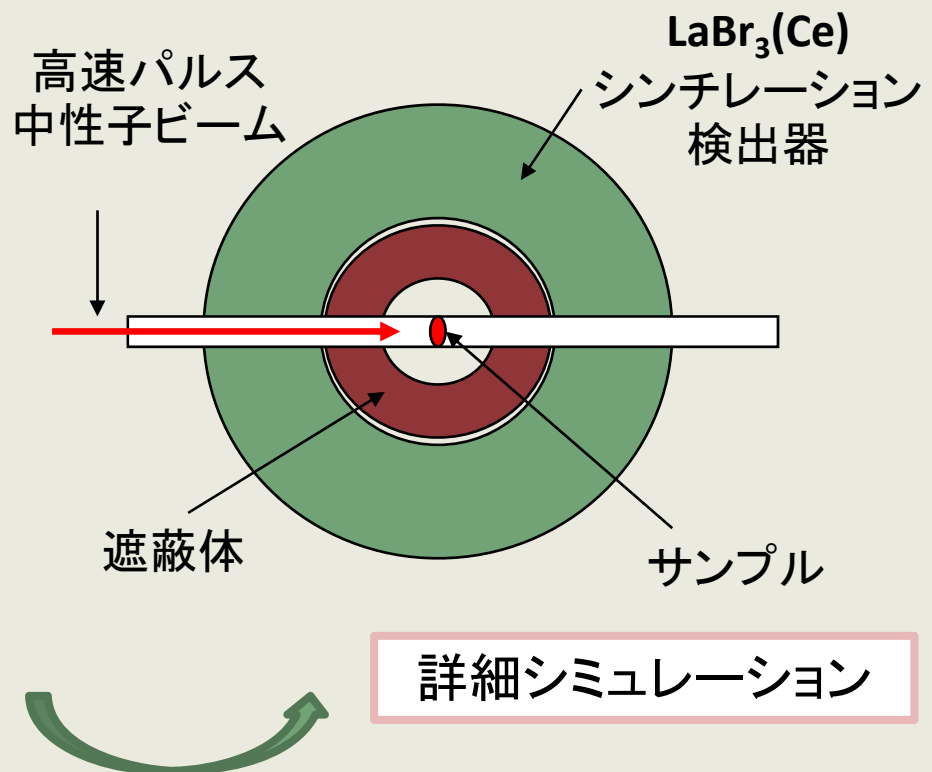


本研究は、科学研究費補助金(基盤研究(B))「核変換研究のための  
高速中性子捕獲微分断面積の高精度  
測定技術の開発」の成果です。

# LaBr<sub>3</sub>(Ce)を用いた中性子捕獲断面積測定用 スペクトロメータの基盤技術開発

エネルギー分解能の測定結果

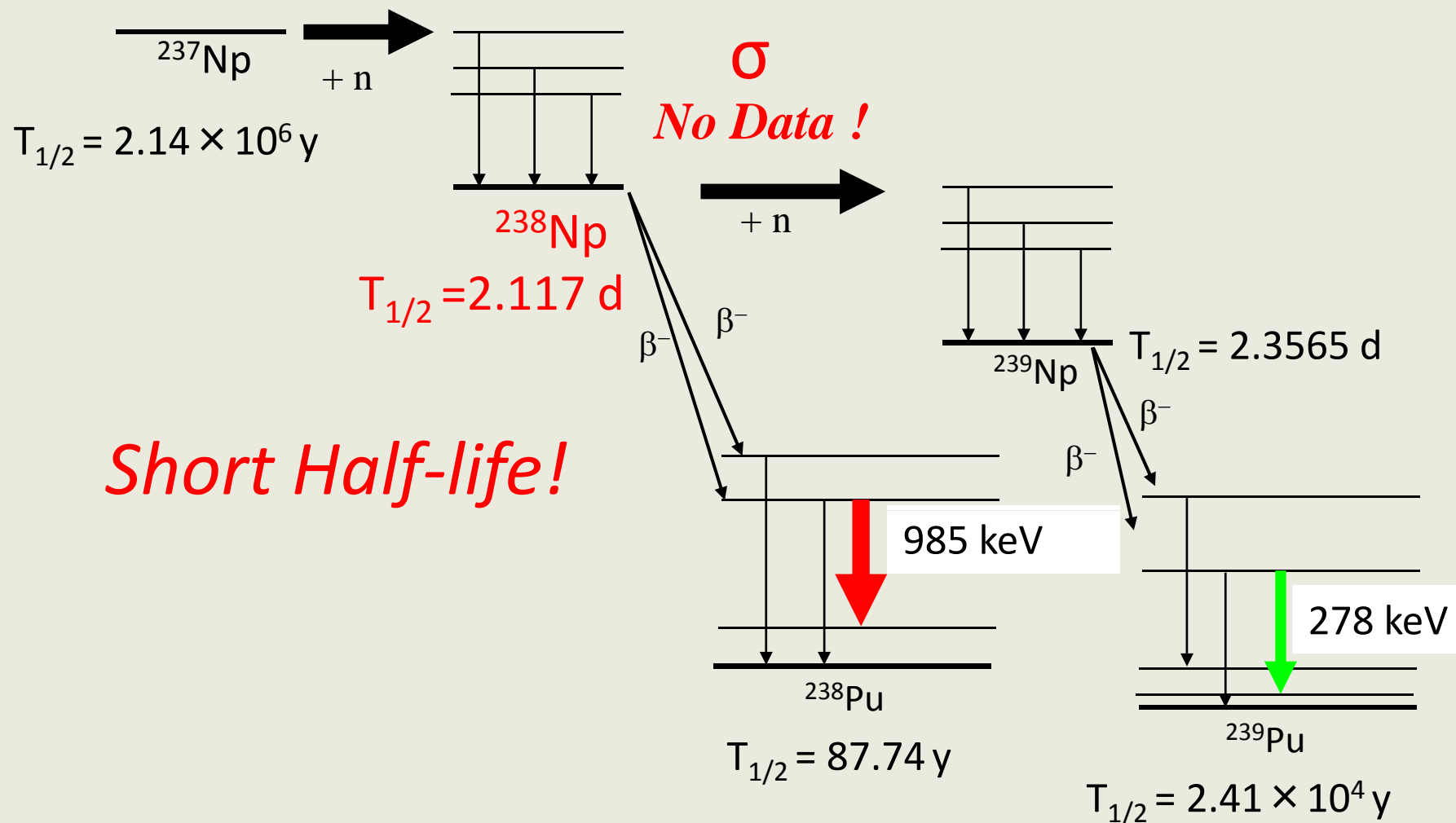
略



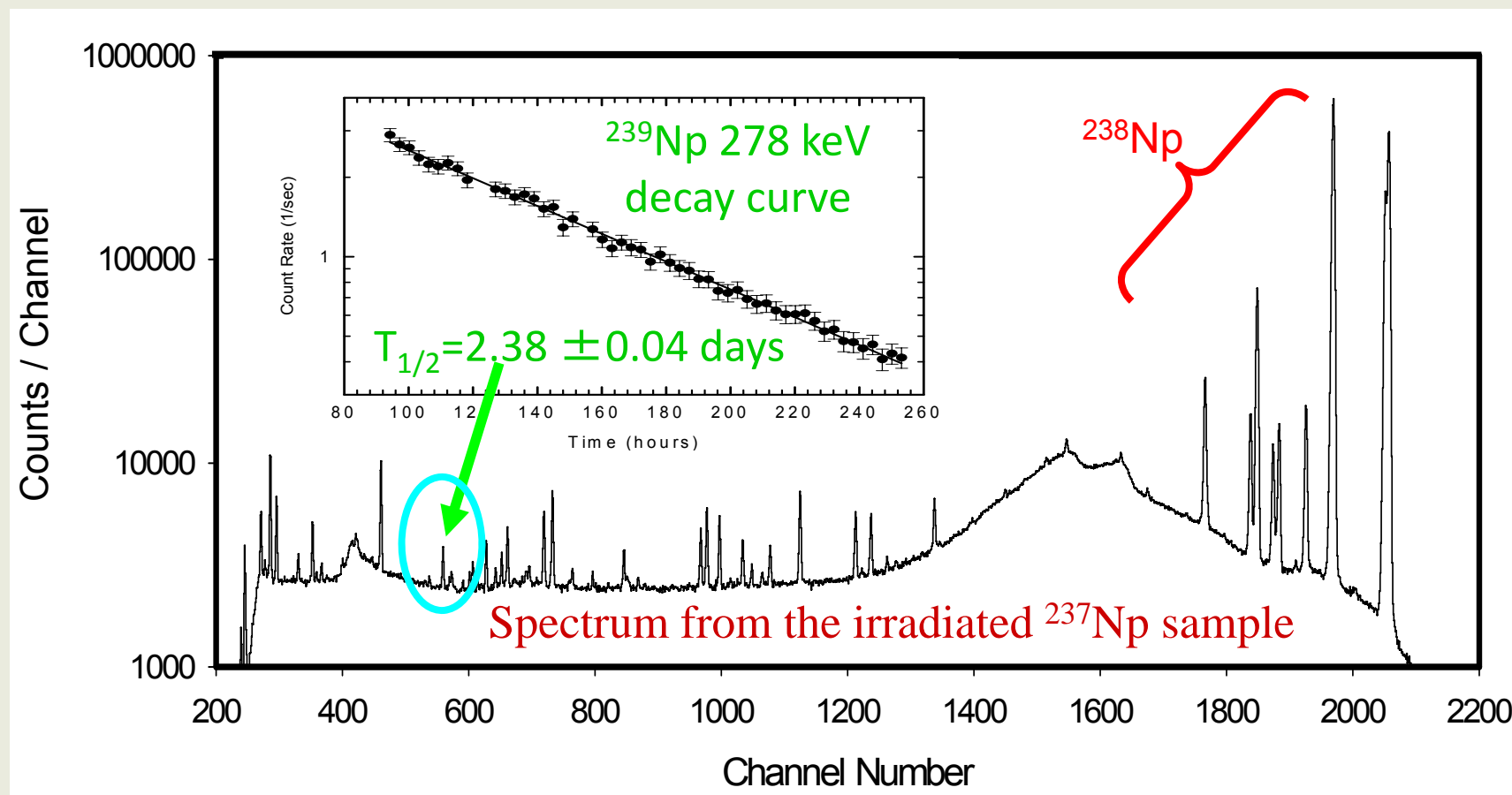
本研究は、科学研究費補助金(基盤研究(B))「核変換研究のための  
高速中性子捕獲微分断面積の高精度測定技術の開発」の成果です。

# 原子炉中性子を用いた測定例

## High Flux $\mapsto$ multiple neutron capture reactions

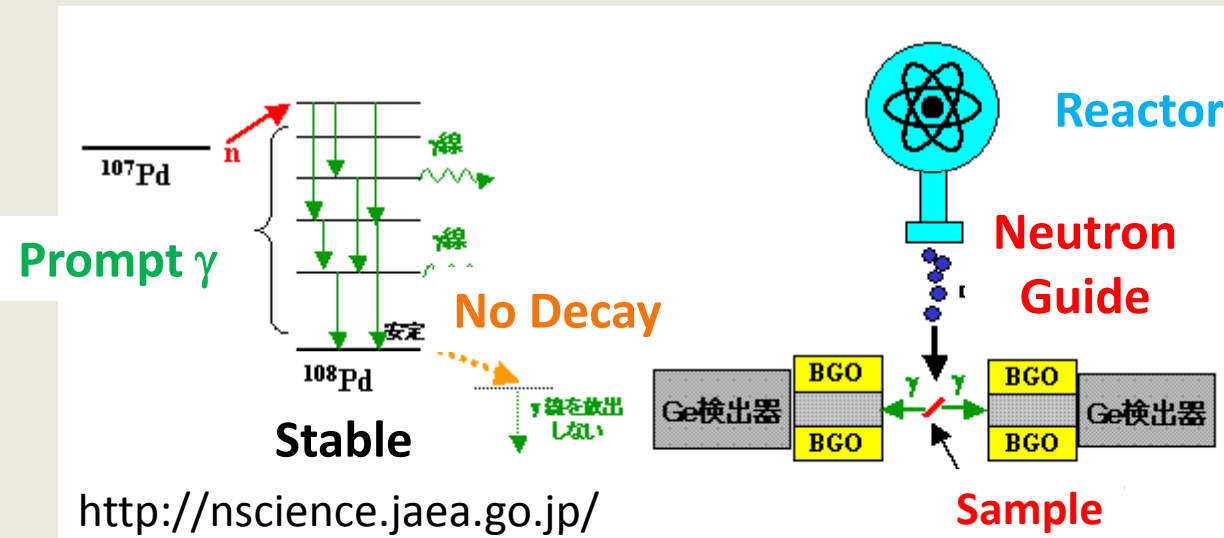


# Example: Advantage of reactor neutrons multiple neutron capture reactions



$\sigma = 479 \pm 24$  [b] :  $^{238}\text{Np}(n, \gamma)$  for thermal neutrons  
H. Harada et al., J. Nucl. Sci. Technol., 41 (2004) 1.

# Prompt $\gamma$ spectroscopy using reactor neutrons



20 MW JRR-3 @ JAEA  
Thermal & Cold neutron  
Guide lines available

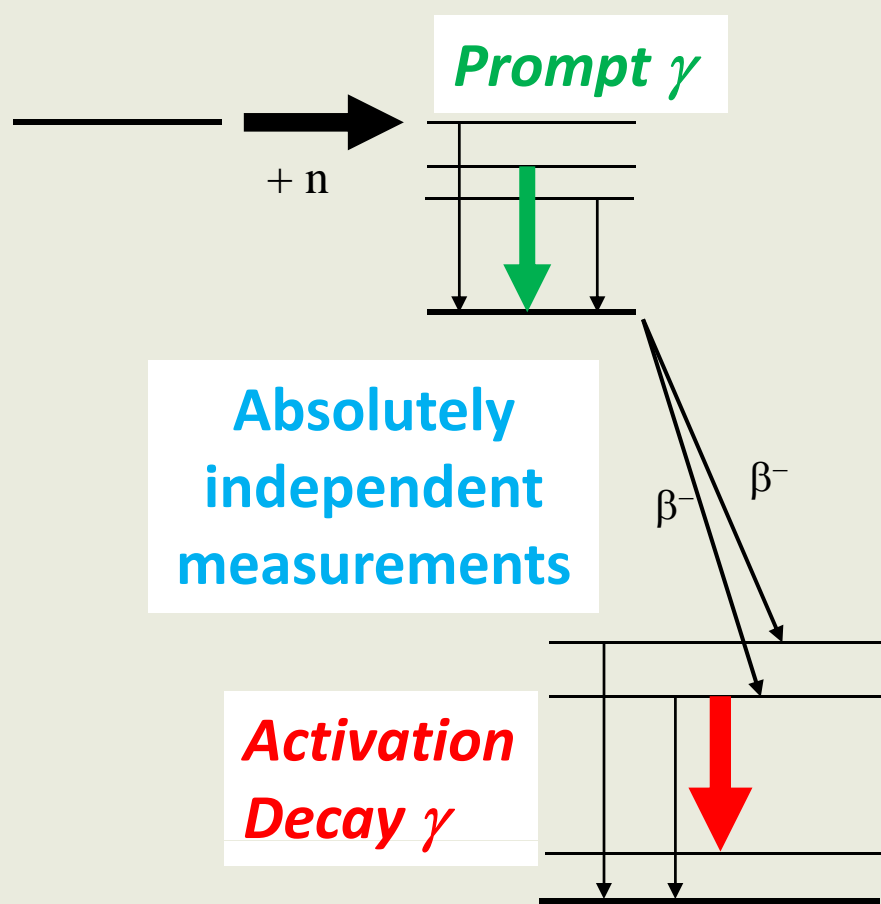
1 MW Kyoto reactor  
will be also available

	Half life	Previous data	JAEA data	References
$^{93}\text{Zr}$	$1.53 \times 10^6 \text{ y}$	$1.3 < \sigma_0 < 4 \text{ b}$ (Pomerance 1952)	$\sigma_0 = 0.63 \pm 0.02 \text{ b}$ (Lower Limit)	<i>JNST, 44, 21 (2007)</i>
$^{107}\text{Pd}$	$6.5 \times 10^6 \text{ y}$	$1.8 \pm 0.2 \text{ b}$ (Mughabghab 1981)	$\sigma_0 = 9.16 \pm 0.27 \text{ b}$ (Lower Limit)	<i>JNST, 44, 103 (2007)</i>

See also T. Belgya et al., ND2007, p.631 for  $^{129}\text{I}$ ,  
J.L. Weil et al., ND2007, p.611 for  $^{99}\text{Tc}$  ] Budapest  
Hungary

# 独立測定の重要性

Pulse Height Weighting 法と  
4π type detectorを利用した測定  
の相互比較



Neutron capture cross section of  
 $^{237}\text{Np}$  for thermal neutrons

Authors (year)	$\sigma_0$ (b)	Methods
Harada et al. (2006)	$169 \pm 4$	Activation, $\alpha$ & $\gamma$
Katoh et al. (2003)	$141.7 \pm 5.4$	Activation, $\gamma$
Kobayashi et al. (1994)	$158 \pm 3$	Activation, $\gamma$
Jurova et al. (1984)	$158 \pm 4$	Activation, $\gamma$
Schuman et al. (1969)	$185 \pm 12$	Activation, $\alpha$
Tattersall et al. (1960)	$169 \pm 3$	Pile Oscillation
Smith et al. (1957)	$170 \pm 22$	$\sigma_{\text{TOT}} - \sigma_{\text{SCA}}(\text{CAL})$
Brown et al. (1956)	$172 \pm 7$	Activation, $\alpha$

## 今後の展望

大強度中性子源、革新的検出器群、精密シミュレーション技術、独立測定相互比較により、統計誤差、系統誤差を絞り込み、MA,FPを中心に中性子核データの高精度化を達成することが、当該分野の挑戦的課題である。

